

بِسْمِ اللَّهِ الرَّحْمَنِ الرَّحِيمِ
الْحَمْدُ لِلَّهِ رَبِّ الْعَالَمِينَ
مَرْيَمُ بْنَتُ مُحَمَّدٍ



پایان نامه کارشناسی ارشد

رشته مهندسی پزشکی - بیوالکتریک

عنوان:

پیش بینی حملات صرعی با بکارگیری

اندیس های شباهت سنجی سیگنال EEG

استاد راهنما:

جناب آقای دکتر نصرآبادی

نگارش:

حمید نیک نظر

تشکر و قدردانی

بر خود واجب می‌دانم از دکتر نصر آبادی که با زحمات و کمک‌های بی دریغ خود مرا در انجام این پروژه بسیار یاری نمودند تشکر و قدردانی نمایم. همچنین از خانواده و دوستان عزیزم که در هر شرایطی همراه و پشتیبانم بوده‌اند کمال سپاس را دارم.

چکیده

بیماری صرع یکی از شاخصترین اختلالات عصبی است که حدود یک درصد از مردم جهان از آن رنج می‌برند. با وجود پیشرفت‌های فراوان در درمان انواع بیماریها، برای یک چهارم از بیماران هیچ راه حل درمانی و دارویی برای کنترل تشنج‌های صرعی وجود ندارد. بروز این حملات می‌تواند باعث قرار گرفتن شخص در شرایط خطرناک شود. در صورتی که بیمار یا اطرافیان او از زمان تشنج خبر داشته باشند امکان قرار گرفتن بیمار در شرایط خطرناک می‌تواند کاملاً یابد (به عنوان مثال شخص می‌تواند از اجسام تیز دور شود).

روشهای متعددی تا کنون در زمینه تشخیص و پیش‌بینی حملات صرعی با استفاده از سیگنال EEG ارائه گردیده است. یکی از مجموعه روشهایی که توانسته است نتایج قابل قبولی ارائه دهد استفاده از اندیس‌های شباهت‌سنجدی است. در این پژوهه ابتدا روش‌های مبتنی بر اندیس شباهت‌سنجدی که تا کنون در زمینه پیش‌بینی یا تشخیص حملات صرعی در سیگنال EEG، مورد استفاده قرار گرفته است بررسی می‌گردد. در ادامه سه روش جدید که برای اولین بار در این پژوهه طراحی و پیاده سازی شده اند ارائه می‌شود. روش نخست بر مبنای استخراج ویژگی از دینامیک رفتاری اکسترمم‌های محلی در سیگنال EEG اندیس شباهت‌سنجدی ارائه می‌دهد که با توجه به نتایجی که ارائه خواهد شد توانسته است در 8 مريض با میانگین نرخ پیش‌بینی اشتباه 0.19 حمله بر ساعت حملات صرعی را با میانگین 36 دقیقه با حساسیت 68.75 درصد پیش‌بینی کند. در روش دوم با الهام از نحوه استخراج نقشه بازگشتی روشی ارائه گردیده است که مبنای استخراج ویژگی در آن فشرده‌شدن یا گسترش ترژکتوری در فضای گسترش یافته حالت می‌باشد. این روش در 9 مريض توانسته است با میانگین نرخ پیش‌بینی اشتباه 0.1 حمله بر ساعت به میانگین زمان پیش‌بینی 32 دقیقه با حساسیت 70.5 درصد برسد. در روش سوم با توجه به اینکه نقشه بازگشتی نمودی از رفتار ترژکتوری می‌باشد، با یک نگاه کلی به مقایسه این نقشه پرداخته شده است. در این روش نقشه بازگشتی به عنوان یک تصویر در نظر گرفته شده، بافت آن با نقشه دیگر مقایسه شده و اندیس شباهت‌سنجدی بر این پایه ارائه شده است. با پیاده سازی این روش به نتیجه میانگین نرخ پیش‌بینی اشتباه 0.25 حمله بر ساعت با حساسیت 59 درصد و میانگین زمان پیش‌بینی 27.8 دقیقه رسیده ایم.

کلمات کلیدی: صرع، EEG، اندیس شباهت‌سنجدی، پیش‌بینی، دینامیک نمادین، نگاشت بازگشتی، ترژکتوری

1	فصل اول - مقدمه
1	1-1- پیش درآمد
2	2-1- هدف پژوهش
2	3-1- ساختار پایان نامه
4	فصل دوم - صرع، سیگنال EEG و رویکردهای مختلف پردازش سیگنالهای EEG مرتبط با صرع
4	1-2- مقدمه
4	2-2- صرع و تشنجهای صرعی
6	3-2- سیگنال EEG
7	4-2- رویکردهای مختلف پردازش سیگنالهای EEG مرتبط با صرع
7	1-4-2- تشخیص تشنجهای صرعی
9	2-4-2- پیش بینی تشنجهای صرعی
13	3-4-2- طبقه‌بندی
14	5-2- جمع‌بندی
15	فصل سوم - بررسی روش‌های مبتنی بر شیاهت سنجی در پیش بینی حملات صرعی
17	1-3- اندیس شیاهت دینامیکی
19	2-3- اندیس شیاهت فازی
20	3-3- اندیس بیشیاهتی
22	4-3- جمع بندی
23	فصل چهارم - معرفی روش‌های جدید ارائه شده در این پایان نامه
23	1-4- شیاهت سنجی مبتنی بر رفتار آماری اکسترمم‌های محلی
23	1-1-4- روش ESSVS
27	2-1-4- روش مبتنی بر رفتار آماری اکسترمم‌های محلی (SBLE)
37	2-4- شیاهت سنجی مبتنی بر رفتار ترکیبی
39	1-2-4- ویژگی‌ها و مفهوم آنها
43	2-2-4- ارزیابی روش
45	3-4- شیاهت سنجی در بافت نقشه بازگشتی
46	1-3-4- شاخصهای مبتنی بر چگالی بازگشت در نقشه بازگشتی
47	2-3-4- شاخصهای مبتنی بر خطوط قطربندی

50	3-3-4- شاخصهای مبنی بر خطوط عمودی
51	4-3-4- روش مبنی بر مقایسه بافت نقشه بازگشتی
52	5-3-4- ارزیابی روش
53	4- جمع بندی
55	فصل پنجم- پیاده‌سازی روش‌های ارائه شده و نتایج آنان
55	1-5- مجموعه داده مورد استفاده در پروژه
58	2- نحوه پیاده سازی روش‌ها
60	3- نتایج پیاده سازی روش شباهت سنجی مبنی بر رفتار آماری اکسترمم های محلی
63	3- نتایج پیاده سازی روش مبنی بر رفتار ترکتوری
64	3- نتایج پیاده سازی روش شباهت سنجی در بافت نگاشت های بازگشتی
65	3- جمع‌بندی و مقایسه نتایج
67	فصل ششم- جمع‌بندی و پیشنهادات
67	1-6- جمع‌بندی و نتیجه گیری
69	2- پیشنهادات
71	منابع

فهرست اشکال

8	شكل-2-1 شمای کلی روش پنجره‌ی لغزان برای تشخیص و پیش‌بینی تشنجهای صرعی.....
10	شكل-2-2 شمای گرافیکی بازه‌های SOP و SPH برای پیش‌بینی حملات صرعی.....
20	شكل-3-1 مقایسه روش شباهت دینامیکی با روش شباهت فازی
21	شكل-3-2 نتیجه پیاده سازی روش بر روی داده EEG
25	شكل-4-1 نحوه استخراج نمادها از سیگنال [15].....
29	شكل-4-2 نحوه استخراج سمبول ها و چگونگی تشکیل رشته حروف
30	شكل-4-3 نمونه‌ی از هر کدام از الگوها
31	شكل-4-4 از بین رفتن اندازه زمانی با تقسیم ویژگی ها به تعداد کل کمینه و بیشینه ها (مجموع $2M$ ویژگی اول).....
34	شكل-4-5 میزان شباهت بین نگاشت لاجستیک با ضرب 4 و نگاشت خیمه با ضرب بین 0.5 تا 1.....
34	شكل-4-6 میزان شباهت بین لاجستیک مپ با ضرب 3 تا 4 و خیمه مپ با ضرب 0.9999999.....
35	شكل-4-7 تغییرات شباهت سنجی بین لاجستیک هایی با ضرب 4 با مقادیر اولیه تصادفی.....
35	شكل-4-8 تغییرات شباهت سنجی بین خیمه مپ هایی با ضرب 0.999 با مقادیر اولیه تصادفی.....
36	شكل-4-9 تکرارپذیری در مقایسه بین لاجستیک با ضرایب بین 3.5 تا 4 با لاجستیک با ضرب 3.5 با مقادیر اولیه تصادفی.....
39	شكل-4-10 نحوه استخراج ماتریس های T, T*, T'' و T'
40	شكل-4-11 بیشتر بودن ویژگی اول در شکل سمت راست به دلیل گسترش ترژکتوری.....
41	شكل-4-12 بیشتر بودن ویژگی اول در شکل راست به دلیل بیشتر بودن سرعت حرکت ترژکتوری.....
41	شكل-4-13 کمتر بودن ویژگی سوم شکل سمت راست به دلیل کمتر بودن تغییرات فوائل.....
42	شكل-4-14 تساوی تقریبی ویژگی پنجم به دلیل مساوی بودن فضای اشغالی توسط ترژکتوری.....
44	شكل-4-15 شباهت بین مدل لورنز با پارامتر 25 و لورنز با پارامتر بین 10 تا 100.....
44	شكل-4-16 با تکرار عمل شباهت سنجی بین مدل لورنز با پارامتر 25 و لورنز
51	شكل-4-17 ریز تصویرهای مورد استفاده جهت استخراج نوع بافت در نقشه بازگشتی
52	شكل-4-18 شباهت بین مدل لورنز با پارامتر 25 و لورنز با پارامتر بین 10 تا 100.....
53	شكل-4-19 میانگین 10 با تکرار عمل شباهت سنجی بین مدل لورنز با پارامتر 25 و لورنز.....
56	شكل-5-1 نحوه قرارگیری الکترود در تعدادی از بیماران.....
57	شكل-5-2 اطلاعات کلینیکی مریض های موجود در دیتابیس
60	شكل-5-3 نتیجه پیاده سازی روش شباهت سنجی مبتنی بر رفتار آماری اکسترمم های محلی برای تمامی 21 مریض با 50 آستانه ..
61	شكل-5-4 نتیجه پیاده سازی روش شباهت سنجی مبتنی بر رفتار آماری اکسترمم های محلی برای 8 مریض با 50 آستانه ..
62	شكل-5-5 نتیجه پیاده سازی روش شباهت سنجی مبتنی بر رفتار آماری اکسترمم های محلی برای 8 مریض با 6 بازه.....
63	شكل-5-6 نتیجه پیاده سازی روش مبتنی بر رفتار ترژکتوری برای 21 مریض با 50 آستانه ..
64	شكل-5-7 نتیجه پیاده سازی روش مبتنی بر رفتار ترژکتوری برای 9 مریض با 50 آستانه ..
65	شكل-5-8 نتیجه پیاده سازی روش شباهت سنجی در بافت نگاشت های بازگشتی برای 5 مریض

فهرست جداول

جدول 4-1 مقادیر شاخص RR برای گروههای مختلف	47
جدول 4-2 مقادیر شاخص DET برای گروههای مختلف	49
جدول 5-1 نتایج پیاده سازی روش شباهت سنجی مبتنی بر رفتار آماری اکسترمم های محلی برای تمامی 21 مریض	60
جدول 5-2 نتایج پیاده سازی روش شباهت سنجی مبتنی بر رفتار آماری اکسترمم های محلی برای 8 مریض	61
جدول 5-3 نتایج پیاده سازی روش شباهت سنجی مبتنی بر رفتار آماری اکسترمم های محلی برای 8 مریض با 6 بازه	62
جدول 5-4 نتایج پیاده سازی روش مبتنی بر رفتار ترزوکتوری برای 21 مریض	63
جدول 5-5 نتایج پیاده سازی روش مبتنی بر رفتار ترزوکتوری برای 9 مریض	64
جدول 5-6 نتایج پیاده سازی روش شباهت سنجی در بافت نگاشت های بازگشته برای 5 مریض	64
جدول 5-7 نتایج و مقایسه روش های ارائه شده در این پژوهه با متدهای دیگر	66
جدول 6-1 خلاصه نتایج ارائه شده توسط اندیس های شباهت سنجی ارائه شده در این پایان نامه	68

فصل اول - مقدمه

1-1- پیش درآمد

صرع یکی شایعترین اختلالات عصبی است که معمولاً با تشنجهای ناگهانی همراه است و حدود ۱٪ از مردم جهان به آن مبتلا هستند. در حدود دو سوم از بیماران مبتلا به صرع، تشنجهای صریعی را می‌توان به کمک داروهای موجود به شکل قابل قبولی کنترل کرد. حدود ۰.۸٪ از بیماران به کمک عمل جراحی بهبود پیدا می‌کنند اما متسفانه برای ۲۵٪ باقیمانده در حال حاضر هیچ راه بهبود رضایتبخشی وجود ندارد[۱]. از آنجا که این اختلال عصبی با فعالیت‌های الکتریکی مغز مرتبط است یکی از مهمترین سوالات در این زمینه آن است که آیا می‌توان از سیگنال الکتروانسفالوگرام (EEG) ویژگی‌هایی عمومی و مشترک استخراج کرد که به کمک آن‌ها بتوان به طور اتوماتیک به تشخیص یا پیش‌بینی تشنجهای صریعی در افراد مبتلا به صرع و یا جداسازی افراد صریعی از افراد سالم پرداخت؟ تشخیص اتوماتیک تشنجهای صریعی به این دلیل اهمیت دارد که تشخیص تشنجهای صریعی از روی سیگنال‌های مغزی توسط متخصص، علاوه بر وقت‌گیر و پرهزینه بودن، دارای خطای انسانی زیادی است. همچنین اگر لحظه‌ی شروع تشنج به درستی تخمین زده شود این امکان به وجود می‌آید که اطرافیان بتوانند سریعاً کنار بیمار حاضر شوند و بیمار را از بعضی خطرات مانند اشیاء تیز دور کنند و یا دارویی به او تزریق کنند و یا خود بیمار از خطرهای ممکن دور شود. پیش‌بینی تشنجهای صریعی می‌تواند بسیار ارزشمند باشد زیرا وقوع تشنجهای ناگهانی می‌تواند باعث قرار گرفتن شخص در موقعیت‌های خطرناکی شود که حتی زندگی بیمار را به مخاطره بیندازد. به دلیل اینکه اختلال در هوشیاری و از دست رفتن ناگهانی کنترل حرکتی اغلب بدون هیچ نوع پیش‌آگهی رخ می‌دهند، توانایی پیش‌بینی حملات صریعی می‌تواند باعث کاهش استرس و بهبود کیفیت زندگی بیمار شود. بیمار با دانستن زمان حمله می‌تواند تا حدی خود را برای وقوع آن آماده کند مثلاً از موقعیت‌های خطرناک مانند یک خیابان شلوغ دوری کند. همچنین پیش‌آگهی از زمان وقوع حمله می‌تواند روش‌های متنوعی از درمان را نیز

امکانپذیر سازد، به عنوان مثال به جای درمان دارویی به صورت پیوسته در درازمدت که باعث عوارض عصبی می‌شوند درمان می‌تواند تنها به زمان‌های لازم و ضروری که احتمال رخداد حمله وجود دارد محدود شود.

2-1- هدف پروژه

در این پروژه سعی بر آن است که با به کارگیری الگوریتم‌های موجود و همچنین ایجاد بعضی الگوریتم‌های جدید، به پیشگویی تشنج‌های صرعی با استفاده از اندیس‌های شباهت‌سنجدی بوسیله پردازش سیگنال‌های EEG بپردازیم. در این راستا از دو دید سیگنال EEG مورد بررسی قرار می‌گیرد، در ابتدا از نظر رفتار ظاهری سیگنال در حوزه زمان و تغییرات رفتار آن در مسیر حرکت به سوی وقوع حمله بررسی صورت می‌گیرد. در دید دوم به بررسی رفتار ترژکتوری^۱ تولید شده از سیگنال EEG که مسیر حرکت در فضای حالت می‌باشد می‌پردازیم. سعی بر آن بوده که روش‌هایی ارائه گردد که نتایج مورد قبول داشته و از نظر ریاضی دارای تعبیر معنا دار باشند.

3-1- ساختار پایان نامه

در فصل دوم این پایان نامه مختصراً درباره بیماری صرع و حملات آن توضیح داده شده است و در ادامه فصل سیگنال EEG مورد بررسی قرار گرفته است و رویکرد‌های مختلف پردازش سیگنال EEG مرتبط با صرع ارائه گردیده است. با وجود اینکه چندین قرن از شناخت بیماری صرع می‌گذرد هنوز علل و مکانیزم فیزیولوژیکی آن کاملاً برای بشر شناخته شده نیست. در فصل دوم مرور کوتاهی بر روی چند نوع صرع خواهیم داشت. با توجه به اینکه بیماری صرع با فعالیت‌های الکتریکی مغز مرتبط است استفاده از سیگنال EEG برای مطالعه‌ی آن می‌تواند مناسب باشد به همین دلیل در بخش بعدی فصل دوم توضیحاتی در مورد سیگنال EEG ارائه خواهد شد. بخش آخر فصل دوم شامل معرفی رویکردهای مختلف پردازش سیگنال‌های EEG مرتبط با صرع است. در این بخش بعد از ارائه توضیحاتی در مورد سه رویکرد تشخیص تشنج‌های صرعی، پیشگویی تشنج‌های صرعی و طبقه‌بندی سیگنال‌های EEG مرتبط با صرع و نحوه‌ی ارزیابی نتایج مربوط به رویکرد پیش‌بینی حملات صرعی بیان خواهد شد.

¹ Trajectory

فصل سوم شامل بررسی روش‌های مبتنی بر اندیس های شباهت سنجی در پیش بینی یا تشخیص حملات صریعی می‌باشد. در این فصل سه روش اندیس شباهت سنجی دینامیکی، اندیس شباهت سنجی فازی و اندیس بی شباهتی مورد بررسی قرار گرفته است.

در فصل چهارم سه الگوریتم اندیس شباهت سنجی جدید که برای اولین بار در این پایان نامه ارائه^۱ گردیده است معرفی می‌شود. روش اول اندیس شباهت سنجی بر اساس رفتار آماری اکسترمم‌های محلی^۱ می‌باشد. در روش دوم با بررسی رفتار دینامیکی ترژکتوری‌ها اندیس شباهت سنجی جدیدی ارائه می‌گردد و در نهایت اندیس شباهت سنجی سوم به نوعی استخراج شباهت بین بافت نگاشت‌های بازگشتی^۲ است.

در فصل پنجم ابتدا توضیحاتی در مورد مجموعه داده‌ی مورد استفاده در این پژوهه بیان خواهد شد. سپس نتایج حاصل از پیاده‌سازی روش‌های ارائه شده برای پیش بینی تشنج‌های صریعی ارائه خواهند شد و نتایج حاصل از پیاده‌سازی روش‌های پیشنهادی در این پژوهه با نتایج حاصل از روش‌های دیگران مورد مقایسه قرار خواهند گرفت.

در فصل ششم به نتیجه‌گیری از مطالب ارائه شده در این پایان‌نامه پرداخته شده است و نیز پیشنهاداتی در زمینه بهبود نتایج و مسیرهای دیگر، جهت رسیدن به هدف این پژوهه بیان شده است.

¹ Local Extrema

² Recurrence Plot

فصل دوم- صرع، سیگنال EEG و رویکردهای مختلف پردازش

سیگنال‌های EEG مرتبط با صرع

1-2- مقدمه

با وجود اینکه چندین قرن از شناخت بیماری صرع می‌گذرد هنوز علل و مکانیزم فیزیولوژیکی آن کاملاً برای بشر شناخته شده نیست. در این فصل در ابتدا به معرفی این بیماری شایع و برخی انواع آن خواهیم پرداخت. سپس به معرفی سیگنال EEG که یکی از بهترین دریچه‌ها برای ورود به دنیای بسیار پیچیده‌ی مغز است خواهیم پرداخت.

2-2- صرع و تشنجهای صرعی

صرع^۱ بعد از سکته‌ی مغزی^۲ شایعترین اختلال عصبی است که معمولاً با تشنجهای^۳ (حملات) ناگهانی همراه است. تشنجهای صرعی نشانه‌هایی گذرا یا علائمی از فعالیت‌های غیر نرمال، شدید و سنکرون سیستم عصبی هستند که ناشی از تخلیه‌ی الکتریکی نورون‌ها می‌باشند. حدود ۱٪ از مردم جهان به این بیماری مبتلا هستند اما تاکنون درمان قطعی برای آن پیدا نشده است. در حدود دو سوم از بیماران مبتلا به صرع، تشنجهای صرعی را می‌توان به کمک داروهای موجود به شکل قابل قبولی کنترل کرد. حدود ۰.۸٪ از بیماران به کمک عمل جراحی بهبود پیدا می‌کنند اما متأسفانه برای ۲۵٪ باقیمانده در حال حاضر هیچ راه بهبود رضایت‌بخشی وجود ندارد. همه‌ی انواع این بیماری دائمی نیستند و برخی از انواع آن محدود به دوره‌ی خاصی از کودکی است. صرع در حقیقت یک بیماری عصبی نیست بلکه مجموعه‌ای از نشانه‌ها با علائم و علی گسترده است که همه‌ی آن‌ها نهایتاً به فعالیت غیرنرمال و شدید الکتریکی در مغز منجر می‌شوند.

حملات صرعی بر اساس منشا و سرآغاز حمله در مغز یا توزیع آن طبقه‌بندی می‌شوند. این کار با استفاده از ثبت‌های سیگنال از مغز انجام می‌شود. حملاتی که منشا آن‌ها نقاط محدودی از مغز باشد، حملات

¹ Epilepsy

² Stroke

³ Seizures

موضعی^۱ یا کانونی نامیده می‌شوند که البته ممکن است در یک فرد چندین کانون حمله وجود داشته باشد. نوع دیگری از حملات صرعی وجود دارند که در آن‌ها کل مغز درگیر تشنج می‌شود که به آن‌ها حملات فرآگیر^۲ گفته می‌شود[2].

صرع‌های مربوط به حملات کانونی، بر اساس تحت تاثیر قرار دادن هوشیاری فرد طبقه‌بندی می‌شوند. اگر با شروع حمله هوشیاری فرد از بین نرود، صرع کانونی ساده^۳ نامیده می‌شود و در غیر اینصورت صرع کانونی پیچیده نامیده می‌شود^۴. در بعضی حالات، حملات کانونی در نهایت کل مغز را فرامی‌گیرند که در اینصورت به آن‌ها حملات فرآگیر ثانویه^۵ می‌گویند.

همه‌ی حملات صرعی فرآگیر باعث از دست رفتن هوشیاری می‌شوند. این حملات که از همان نقطه آغازین با تغییرات وسیع حرکتی، حسی و غیره همراه هستند می‌توانند از نکان‌های عضلاتی موضعی در قسمتی از بدن تا فعالیت‌های صرعی فرآگیر را در برگیرند. وقوع حملات نیز در ترتیبی به ظاهر غیر قابل پیش‌بینی رخ می‌دهد که می‌تواند از صدھا حمله در یک روز تا تنها چند حمله در سال در افراد مختلف تغییر کند.

نوع دیگری از انواع صرع وجود دارد که به آن صرع کوچک و یا غایب^۶ می‌گویند. در این حمله‌ها که معمولاً در کودکان دیده می‌شوند، فقط چند ثانیه هوشیاری فرد از بین می‌رود و ممکن است با پرت شدن حواس یا عدم تمرکز اشتباه گرفته شود. کودکانی که دچار صرع غیاب هستند می‌توانند روزی صدھا بار دچار چنین حمله‌های چند ثانیه‌ای شوند و اغلب خود کودک و اطرافیانش متوجه چنین حمله‌هایی نمی‌شوند، زیرا زمان آن‌ها بسیار کوتاه می‌باشد.

¹ Partial epilepsy

² Generalized epilepsy

³ Simple partial

⁴ Complex partial

⁵ Secondary generalized

⁶ Absence

3- سیگنال EEG

سیگنال الکتروэнسفالوگرام^۱ (EEG) ثبتی است از پتانسیل‌های سیناپسی جمع شده روی جمجمه یا غشای مغز که از میدان‌های دندریتی نورون‌های هرمی در غشای مغز سرچشمه می‌گیرند. سیگنال EEG تنها یک پروسه عصبی- فیزیولوژیک منفرد را منعکس نمی‌کند، بلکه نشان دهنده برهمنش‌های نورونی بسیاری است که به صورت پتانسیلی روی سطح سر و یا سطح کورتکس ثبت می‌شوند.

سیگنال EEG منعکس کننده‌ی فعالیت همزمان محلی و همچنین اثرات تحریک کننده و بازدارنده‌ی قوی نواحی زیر غشای مغز مثل تalamus است. پژوهشکاران از این سیگنال برای تشخیص بیماری‌های مختلفی از جمله صرع استفاده می‌کنند. پردازش این سیگنال با استفاده از الگوریتم‌های ریاضی نیز چندین دهه است که مورد توجه محققین حوزه مهندسی پزشکی قرار گرفته است.

می‌دانیم مغز متشکل از میلیون‌ها سلول است که هر کدام از آن‌ها کاری متفاوت را انجام می‌دهند. بنابراین در هر لحظه و در هر جای مغز می‌توان ترکیب‌های متفاوتی از انواع فرکانس‌ها را انتظار داشت. برای

سیگنال EEG چند زیرباندهای^۲ فرکانسی تعریف می‌گردد که عبارتند از [3]:

۱) زیرباند دلتا^۳: فرکانس ۰ تا ۴ هرتز

۲) زیرباند تتا^۴: فرکانس ۴ تا ۸ هرتز

۳) زیرباند آلفا^۵: فرکانس ۸ تا ۱۲ هرتز

۴) زیرباند بتا^۶: فرکانس ۱۳ تا ۳۰ هرتز

۵) زیرباند گاما^۷: فرکانس ۳۰ تا ۶۰ هرتز

¹ Electroencephalogram

² Sub-bands

³ Delta

⁴ Theta

⁵ Alpha

⁶ Beta

⁷ Gamma

2-4- رویکردهای مختلف پردازش سیگنال‌های EEG مرتبط با صرع

محققین اهداف مختلفی از پردازش سیگنال‌های مغزی دارند و در مورد سیگنال‌های مرتبط با صرع، علاوه بر آنالیز سیگنال می‌توان به تشخیص و پیش‌بینی تشنجهای صرعی و طبقه‌بندی سیگنال‌های مغزی مرتبط با صرع اشاره کرد. به طور کلی در ادبیات مرتبط با صرع، با توجه به زمان دقیق شروع تشنج و برچسب گذاری ممکن آن روی سیگنال، چند مفهوم برای بازه‌های مختلف سیگنال تعریف می‌شود: بازه‌ی تشنج^۱، بازه‌ی نزدیک به تشنج^۲، بازه‌ی بعد از تشنج^۳ و بازه‌ی بدون تشنج^۴. در این قسمت، سه رویکرد کلی که در پردازش سیگنال EEG مرتبط با صرع وجود دارد معرفی خواهند شد.

2-4-1- تشخیص تشنجهای صرعی^۵

هدف این رویکرد، تحلیل سیگنال EEG در طول زمان و تفکیک بازه‌ی نزدیک به تشنج از بازه‌ی تشنج و در بسیاری موارد تعیین نسبتاً دقیق لحظه‌ی شروع تشنج است. در این روش پنجره‌ی لغزانی وجود دارد که در طول زمان حرکت داده می‌شود به طوری که در هر بار لغزش مقداری از نقاط سیگنال (مثلاً یک ثانیه) برداشته می‌شود و مورد تحلیل قرار می‌گیرد که خروجی این تحلیل یک عدد است. سپس با لغزش پنجره، مقداری دیگر از سیگنال برداشته می‌شود و مورد تحلیل قرار می‌گیرد که باز هم خروجی این تحلیل یک عدد است و به همین ترتیب این فرآیند ادامه پیدا می‌کند تا خروجی که اندیسی در طول زمان است ساخته شود. سپس این خروجی با مقدار آستانه‌ای مقایسه می‌شود تا اگر از آستانه عبور کرد، هشدار^۶ داده شود. شکل 2-1 شمای کلی این روش را در حالت کلی EEG چند کاناله نشان می‌دهد.

¹ Ictal

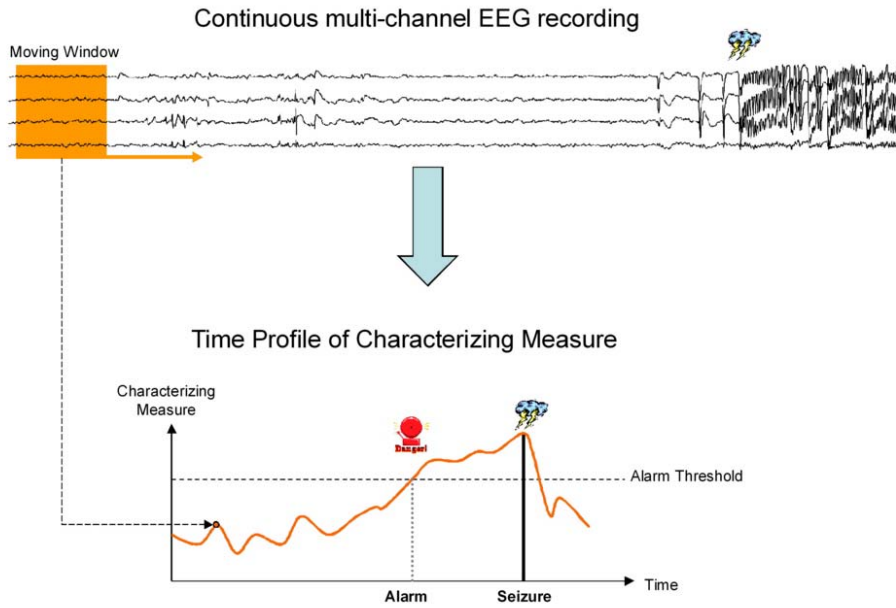
² Preictal

³ Post ictal

⁴ Interictal

⁵ Epileptic seizures detection

⁶ Alarm



شکل 2-1 شمای کلی روش پنجره‌ی لغزان برای تشخیص و پیش‌بینی تشنجهای صرعی [4]

در رویکرد تشخیص تشنجهای صرعی به کمک پنجره‌ی لغزان، ایده‌آل آن است که خروجی و آستانه طوری تعیین شوند که دقیقاً در لحظه‌ی شروع تشنج هشدار داده شود. اما مشکلاتی برای رسیدن به این هدف وجود دارد اول آنکه برچسب‌هایی که برای زمان شروع تشنج توسط پزشکان داده می‌شود برچسب‌های کاملاً دقیقی نیستند زیرا فرآیند شروع تشنج فرآیند باینری نیست که بتوان برای شروع تشنج زمانی کاملاً دقیق را معین کرد. ثانیاً اگر پذیرفته شود که برچسب‌های داده شده توسط پزشکان برچسب‌های دقیقی هستند، با توجه به اینکه سیگنال EEG سیگنالی فیزیولوژیک و بسیار پیچیده است ایجاد اندیس و آستانه‌ای که دقیقاً در لحظه‌ی شروع تشنج اندیس از آستانه عبور کند کار بسیار دشواری است. به همین دلیل در اغلب مقاله‌هایی که ادعا شده است تشنجهای صرعی تشخیص داده شده‌اند به جای اینکه سعی شود لحظه‌ی شروع تشنج تخمین زده شود تا هشداری داده شود، سعی بر آن بوده است که اندیسی معرفی شود که مقدار میانگین این اندیس در بازه‌ی تشنج با مقدار میانگین آن در بازه‌ی بدون تشنج تفاوت داشته باشد. در این حالت نیازی به تعریف آستانه وجود ندارد و آنچه مهم است این است که تحلیل‌های آماری معتبر نشان دهند که تفاوت میانگین‌ها، تفاوت معناداری است و این مسئله در واقع یک مسئله‌ی طبقه‌بندی با دو کلاس است.

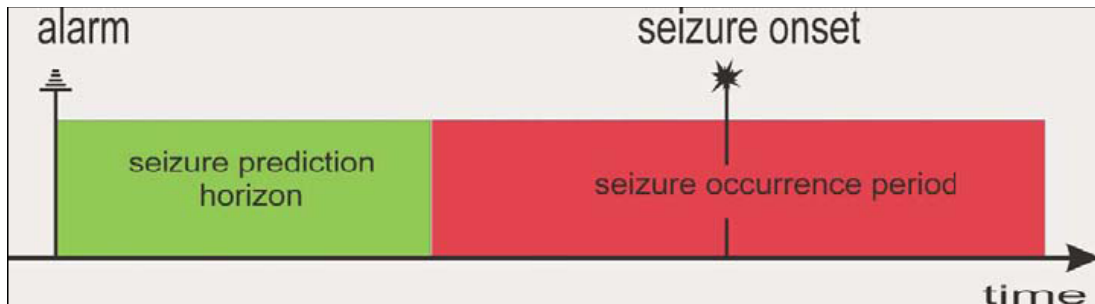
2-4-2- پیش بینی تشنج های صرعی^۱

هدف اصلی پیش بینی در واقع تشخیص تغییر بازه‌ی بدون تشنج به بازه‌ی نزدیک به تشنج است اما از آنجا که تعریف مشخصی برای شروع بازه‌ی نزدیک به تشنج وجود ندارد، سعی در محاسبه‌ی یک اندیس بر حسب زمان و مقایسه‌ی آن با یک سطح آستانه می‌شود ولی به جای اینکه لحظه‌ی عبور از سطح آستانه شروع بازه‌ی نزدیک به تشنج تلقی شود، از آن به عنوان هشداری برای احتمال وقوع تشنج در لحظاتی بعد استفاده می‌کنند. بنابراین برای پیش بینی تشنج های صرعی از روش پنجره‌ی لغزان در طول زمان استفاده می‌شود. برای پیش بینی تشنج های صرعی در انسان‌ها سعی بر آن است که در مدت زمانی که برای هشدار تشنج در نظر گرفته شده است، مثلاً از یک ساعت قبل از شروع تشنج تا ده ثانیه قبل از شروع تشنج، هشداری داده شود که این هشدار بیان می‌کند که در بازه‌ی نزدیک به تشنج هستیم و در مدت زمان ده ثانیه بعد از هشدار تا یک ساعت بعد از هشدار، تشنجی رخ خواهد داد. به بیان دقیقتر هدف از یک الگوریتم پیش بینی ایده‌آل آن است که قبل از اینکه تشنج شروع شود هشداری دهد و زمان دقیق شروع تشنج را نیز مشخص کند که البته این رفتار برای الگوریتم‌های پیش بینی فعلی اصلاً مورد انتظار نیستند. این عدم قطعیت در تعیین زمان دقیق شروع تشنج با استفاده از تعریف بازه‌ای بیان می‌شود که انتظار می‌رود شروع تشنج در آن بازه باشد این بازه را بازه‌ی رخداد تشنج^۲ (SOP) می‌نامند. به علاوه برای اینکه بعد از اعلام هشدار زمانی برای اقدامات بازدارنده یا پیشگیری کننده وجود داشته باشد، بازه‌ی بین اعلام هشدار تا آغاز پنجره‌ی زمانی SOP در این الگوریتم‌ها بسیار مهم است. این بازه محدوده‌ی پیش بینی تشنج^۳ (SPH) نامیده می‌شود. شکل 2-2 شمای گرافیکی SOP و SPH را نشان می‌دهد.

¹ Epileptic seizures prediction

² Seizure occurrence period

³ Seizure prediction horizons



شکل 2- شمای گرافیکی بازه‌های SOP و SPH برای پیش‌بینی حملات صرعی [25]

با توجه به شکل 2-2 یک پیش‌بینی درست باید شرایطی را داشته باشد: ۱- شروع تشنج بعد از اعلام هشدار باشد. ۲- در بازه‌ی SPH نباشد. ۳- در داخل بازه‌ی SOP قرار گیرد. ایده‌آل آن است که مقدار SOP کم و مقدار SPH زیاد باشد. اما با توجه به کارایی الگوریتم‌های فعلی، مقدار SOP را زیاد و مقدار SPH را کم در نظر می‌گیرند.

در زمینه پیش‌بینی حملات صرعی با استفاده از پردازش سیگنال EEG دو پارامتر جهت بیان کارامدی روش اجرائی تعریف می‌شود:

- ۱- حساسیت(Se)^۱: برابر با نسبت تعداد پیش‌بینی‌های درست به تعداد کل تشنج‌ها است.
- ۲- نرخ پیش‌بینی اشتباه در ساعت^۲(FPR): برابر است با میانگین تعداد پیش‌بینی‌های اشتباه در هر ساعت.

اگر پیشگویی حمله صرعی درست باشد، یعنی پس از اعلام هشدار حمله‌ای در بازه SOP وجود داشته باشد، در اینصورت هشدار صحیح بوده و به عنوان "True Positive" (TP) "خوانده می‌شود. اگر پس از اعلام هشدار هیچ حمله‌ای در بازه SOP وجود نداشته باشد در اینصورت به عنوان پیشگویی اشتباه یا "False Alarm" شناخته می‌شود که به آن "False Positive" (FP) نیز می‌گویند. اگر حمله‌ای رخ دهد بدون اینکه هشداری قبل از وقوع آن داده شده باشد در اینصورت چنین مواردی نیز به عنوان "False Negative" (FN) شناخته می‌شوند. البته در رویکردهای طبقه‌بندی حالتی دیگری نیز متصور است که "True Negative" (TN) "خوانده می‌شود ولی در اینجا چون رویکرد پیشگویی ارایه شده با رویکردهای

¹ Sensitivity

² False Positive Rate

طبقه بندی کاملاً متمایز است چنین تعریفی تقریباً بی معنی است و محاسبه نمی شود ولی می توان بیان کرد همه لحظاتی که در بازه غیرصرعی هشداری وجود نداشته باشد و بعد از آن حمله ای صورت نگیرد به عنوان (TN) "True Negative" بايستی در نظر گرفته شوند.

حملاتی که در ناحیه SOP قرار نداشته باشند، همگی به عنوان پیشگویی های اشتباه معیار محسوب می شوند و منظور تعداد مواردی از حمله است که توسط الگوریتم شناسایی نشده است. این پارامتر در سنجش حساسیت الگوریتم موثر است. در مقابل نیز همه هشدار هایی که بدون وقوع حمله در ناحیه SOP باشند به عنوان پیشگویی های نادرست محسوب می شوند. دو معیار آماری حساسیت و نرخ پیشگویی اشتباه جهت سنجش عملکرد هر الگوریتم طبق تعاریف زیر محاسبه می شوند:

حساسیت:

$$\text{Sensitivity} = \frac{TP}{TP+FN} \quad (1-2)$$

نرخ پیش‌بینی اشتباه:

$$FPR = \frac{FP}{All\ Data\ in\ Hour} \quad (2-2)$$

البته بدیهی است که این دو معیار با تعاریف مطرح شده به هیچ وجه مستقل از هم نیستند. معیارهای حساسیت و صحت در اغلب کارهای دیگر نیز برای بررسی مقدار بهینه برای تنظیم آستانه‌ای برای حالت هشدار به کار رفته اند. در مرجع [5] از معیارهای بالا برای سنجش معیارهای مختلف کمی کننده سطح بیهوشی استفاده شده است.

برای اینکه معیاری برای مقایسه الگوریتم های مختلف داشته باشیم در اکثر موارد این مقایسه با روش های تصادفی و تناوبی و یا هر الگوریتم و روشی که می تواند بدون استفاده از اطلاعات اولیه پیشگویی را انجام دهد، صورت می گیرد. در واقع برای اینکه بتوان معیاری را اصولاً یک روش پیشگویی قلمداد نمود بایستی نتایج در مقایسه با این الگوریتم ها به صورت معنی داری بهتر باشد. عموماً در این الگوریتم ها سطح آستانه یا معیار بهینه سازی الگوریتم را آنقدر تغییر می دهیم تا حساسیت افزایش یابد. معیار توقف نیز رسیدن به حد بالای FPR مجاز است. در روش تصادفی، فرض می کنیم که بدون داشتن اطلاعاتی از

سیگنال به صورت کاملاً تصادفی هشدار نسبت به وقوع حملات صریعی را اعلام نماییم. اگر I را یک بازه کوچک در ناحیه داده های غیرصریعی در نظر بگیریم، احتمال اینکه یک هشدار در این بازه باشد برابر $FPR_{max} \cdot I$ خواهد بود. برای بازه های بزرگتر W ، احتمال اینکه حداقل یک پیشگویی غلط داشته باشیم مطابق روابط زیر محاسبه می شود:

$$P(\text{No Alarm in } I) = 1 - FPR_{max} \cdot I$$

$$P(\text{No Alarm in } W) = (1 - FPR_{max} \cdot I)^{\frac{W}{I}} \quad (3-2)$$

$$P(\text{At Least One Alarm in } W) = 1 - (1 - FPR_{max} \cdot I)^{\frac{W}{I}}$$

$$P(\text{At Least One Alarm in } W | W \gg I) \approx 1 - e^{-FPR_{max} \cdot W}$$

اگر W را برابر SOP در نظر بگیریم این عبارت به خاطر اینکه احتمال حداقل یک هشدار در ناحیه SOP را می رساند، برابر حساسیت S برای معیار تصادفی خواهد بود.

در معیار تناوبی، هشدار ها به صورت منظم و با پریود یکسان از یک زمان خاصی آغاز می گردند. اگر در بازه های غیرصریعی، نرخ هشدار های اشتباه برابر FPR_{max} باشد، در اینصورت حساسیت S برای هشدار در ناحیه SOP برابر خواهد بود با:

$$S = \text{Min}(FPR_{max} \cdot SOP, 100\%) \quad (4-2)$$

بديهی است که برای مقادير بالاي SOP و FPR هر دو معیار تصادفی و تناوبی می توانند به حساسیت های بالا و حتی ۱۰۰٪ نیز برسند. اين مسئله نیز می تواند مستقل از مقادير SPH رخ دهد.

برای مقایسه اگر نرخ پیشگویی اشتباه $SOP=50\text{min}$ و $FPR_{max}=1.0/\text{hour}$ باشد، در اینصورت حساسیت برای معیار تصادفی به ۵۷٪ و برای الگوریتم تناوبی به ۸۳٪ می رسد. برای همین می توان گفت که برای مقادير SOP طولاني یا نرخ قابل قبول FPR بالا نمی توان تمایز خوبی بین هیچکدام از الگوریتم های پیشگویی با اين روش ها قابل شد. مقادير SOP، SPH و FPR_{max} بستگی مستقيمي به كاربردهای کلینيکی خواهد داشت يعني وابسته به هر بيمار خاص و يا روش پيشگيري منحصر به هر بيمار است.